حساب قدرة الإيقاف للإلكترونات في ستة أنواع من أنسجة جسم الإنسان في مدى طاقة (20-2000 eV) حساب قدرة الإيقاف للإلكترونات في ستة أنواع من أنسجة جسم الإنسان في مدى طاقة (20-2000 eV) حساب قدرة الإيقاف للإلكترونات في ستة أنواع من أنسجة جسم الإنسان في مدى طاقة (20-20000 eV)

جامعة الكوفة /كلية التربية للبنات

Suranoaman@gmail.com

rashid.alghanimi@uokufa.edu.iq

الخلاصة

تم في هذه الدراسة حساب قدرة الإيقاف الالكترونية للإلكترونات الساقطة على ستة أنواع من أنسجة جسم الإنسان Muscle (skeletal) 'soft tissue 'Lung tissue 'Brain (gray/white matter), Testis 'Ovary) ضمن مدى طاقة من خلال التفاعلات نتيجة اختراقها المادة يعد من الأمور في غاية الأهمية وبشكل خاص في موضوع التشخيص والمعالجات الطبية .

باعتماد أداة مطابقة المنحني Curve fitting tool وباعتماد بيانات Z. Tan and W. Liu للإيقاف الإلكترونية للإلكترونات والحصول على معادلة لكل نسيج ومنها الحصول على معادلة شبه تجريبية لحساب قدرة الإيقاف الإلكترونية للإلكترونات في ستة أوساط في هذا البحث.

Z. Tan and W. قورنت النتائج المحسوبة من خلال المعادلة الشبه تجريبية التي تم الحصول عليها مع نتائج CORREL وبعد حساب معامل Liu والخطأ المعياري STEYX

الكلمات المفتاحية: قدرة ايقاف الالكترون ، فقدان الطاقة ، المعادلة شبة التجريبية.

Stopping Power Calculations of Electron in Six Types of Human Tissue for Energies (20-2000eV)

Hanin Shaker Hadi

Rashid Owaid Kadhim

University of Kufa, College of Education for Girls

Abstract:

In this study the electron stopping power was calculated for electron interacted in six types of human tissue (Ovary, testis, Brain(gray/white matter), Lung tissue, Soft tissue, Muscle(skeletal)), in the range of energy (20-20000)eV. Losing charged particles energy through interactions due to the penetration of material is very important, especially in the subject of diagnosis and medical treatments. Adopted Curve Fitting Tool and Z. Tan and W. Liu date to the electronic stopping power was calculated for electron and getting the equation for each tissue then we can obtain semi-empirical equation to the electronic stopping power was calculated for electrons in the six mediums studied in this paper .the calculated results were compared through the semi-empirical equation obtained from the source results Z. Tan and W. Liu .After calculating the correlation coefficient CORREL and the standard error STEYX for the results of Semi-empirical equation, the obtained results show a satisfactory agreement.

Keywords: electron stopping Power; Energy loss; Semi-empirical equation.

١. مقدمة

عند مرور الجسيمات المشحونة عبر الأوساط المادية فأنها تفقد جزء من طاقتها بشكل مستمر في عدد كبير من التصادمات والجسيمات المشحونة تخترق المادة وتصطدم وتؤين الالكترونات الذرية وتتحرك بسرعة v وبشحنة v وبكتلة v وبلطريقة التي تفقد بها الجسيمات المشحونة طاقتها عنده مرورها بالأوساط المختلفة مثل الغازات والسوائل والمواد الصلبة هي التفاعل الحاصل بين الجسيمات الساقطة وذرات هذه الأوساط ،ومن الممكن تقسيم هذه التفاعلات إلى [2,3,4,5] :

1-تفاعلات الجسيمات المشحونة الثقيلة مع المادة والتي تصنف بدورها إلى مجموعتين:

الجسيمات المشحونة الثقيلة والتي عددها الذري $(Z_1 < 2)$ مثل البروتونات.

الجسيمات المشحونة الثقيلة والتي عددها -ii الذري ($Z_1 \geq Z$) مثل جسيمات الفا وشظايا الانشطار.

2-تفاعل الجسيمات المشحونة الخفيفة (مثل الإلكترونات والبوزترونات).

3-تفاعل أشعة كاما مع المادة.

4-تفاعل النيوترون مع المادة.

إن الكمية المهمة التي يجب إن نتطرق لها هي قدرة الإيقاف ($\frac{dE}{dx}$) التي تعرف بأنها مقدار الطاقة الضائعة في وحدة الطول لجسيم مشحون ساقط على مادة معينة ، أن عملية فقدان الطاقة من الجسيمات المشحونة أخذت وما زالت تأخذ اهتماما واسعا في مجالات الفيزياء الذرية والنووية كافة ومجالات العلوم الأخرى [6]، أول من وضع النظرية الخاصة لحساب قدرة الإيقاف في التصادمات بين الجسيمات المشحونة الثقيلة والالكترونات هو بيث عام 1932/ 1930 وبور عام 1948 [3].

إن مرور الإلكترونات خلال الأوساط المادية هي مماثلة لمرور الجسيمات المشحونة الثقيلة خلال الأوساط المادية أي أن تفاعل كولوم يكون مهيمنا ومع ذلك هناك ثلاثة اختلافات واضحة يمكن رؤيتها بسهولة [7]:

1- الإلكترونات الساقطة عادة هي جسيمات نسبية .

2-التشتت غالبا ما يكون بين الجسيمات المتماثلة والمتنافرة.

3-تفاعل مع نوى فعالة ، واتجاه الإلكترون يمكن أن يتغير إلى عكس اتجاهه، عندما يتصادم مع نواة ثقيلة

أن تفاعل الالكترونات مع المادة أكثر تعقيدا من تفاعل الجسيمات المشحونة الثقيلة مع المادة [3] وذلك لأنه:

1- إن الإلكترون الساقط والالكترونات الموجودة داخل المادة لها الكتلة نفسها فانه سيكون هناك استطارة أكثر للإلكترون الساقط (لا يمكن معرفة إي منهما قد كان الإلكترون الساقط) ولهذا فان طول المسار خلال المادة يمكن إن يكون اكبر بكثير من الخط المستقيم أو طول المدي.

2-شحنة الجسم الساقط لا تتغير إطلاقا ولهذا فان فقدان الطاقة بواسطة التأين يكون كبيرا جدا بالنسبة للطاقات التي تصل في حدود الإلكترون فولت وهذا يسبب فجوات عند نهاية مسار الإلكترون.

"- أن الالكترونات ذات طاقة حركية معينة تكون سرعتها اكبر من سرعة الجسيمات الثقيلة ذات الطاقة نفسها ولهذا فان فقدان طاقة الالكترونات بواسطة انبعاث الإشعاعات الكهرومغناطيسية يبقى مهما عند طاقات اقل بكثير من تلك التي تكون للبروتونات مثلا [2].

اذا كانت طاقة الالكترون الذي يدخل المادة صغيرا جدا فانه سيمر من دون ان يحدث اي اثر يذكر على جزيئات المادة ،اما اذا كانت طاقته اكبر من ذلك فمن المحتمل ان يعطي طاقتة الى الكترونات الذرة حسب نظرية بور مما يودي الى تهيجها الى مستويات طاقة اعلى او يحدث تأينا [4]. نجد أن معدل فقدان طاقة الالكترونات في المواد [7]:

$$-\left(\frac{dE}{dx}\right)_{\text{electron}} = -\left(\frac{dE}{dx}\right)_{\text{electronic}} + -\left(\frac{dE}{dx}\right)_{\text{radiative}} \cdots (1)$$

هناك عمليتان أساسيتان يفقد بها الإلكترون طاقته عند مروره خلال الأوساط المادية :

1- فقدان الطاقة بواسطة التصادم غير المرن مع الكترونات الذرة ولمعرفة مقدار الطاقة المفقودة في التصادم غير المرن بين الالكترونات الساقطة والكترونات الذرة تستخدم المعادلة التي وضعها Mott عام 1930/1930 وذلك للطاقات الواطئة إما في

الطاقات العالية يجب إضافة التصحيحات النسبية كافة لمعادلة Mott [3] ويمكن الحصول على القيمة النظرية لقدرة الإيقاف للإلكترونات عندما تكون طاقتها صغيرة $(E < m_e c^2)$ بالمقارنة بطاقة السكون لها وذلك من العلاقة التالية [8]:

$$\begin{split} \left(-\frac{dE}{dx}\right)_{inel} &= \frac{4\pi e^2}{m_e v^2} ZN \left[ln \left(\frac{m_e v^2}{2I}\right) + \right. \\ \left. 0.15 \right] \cdots (2) \end{split}$$

اما أذا كانت طاقة الالكترونات كبيرة $(E>m_ec^2)$ تكون القيمة النظرية لقدرة الايقاف هي [8]:

$$\left(-\frac{dE}{dx}\right)_{inel} = \frac{2\pi e^2}{m_e c^2} ZN \left[ln \left(\frac{m_e c^2}{2I}\right) + 0.15 \right] \cdots (3)$$

٢-فقدان الطاقة بواسطة الإشعاع أن الالكترونات ذات الطاقة العالية قد تصل إلى مسافة تقترب من المدار الذرى k وذلك نتيجة تاثير قوة التجاذب الكولومية (F) بين الالكترونات وبين النواة فعند اقترابه الى هذه المسافة والذي يطلق عليها بمعامل التصادم (impact parameter) ينحرف ويصاحب هذا الانحراف انبعاث فوتونات طاقتها الكلية جزءا من طاقة الإلكترون الساقط و ذلك لان النواة تحاول إيقاف الالكترونات بواسطة القوه الكولومية لكن الإلكترون يحصل له تعجيل نتيجة المجال الكهرومغناطيسي للنواة حيث يصاحب هذا التعجيل انبعاث اشعاع يطلق عليه بأشعة التوقف (bremsstrahlung) (وهي كلمة ألمانية تعني أشعة الكبح) (braking radiation) وتخرج هذه الأشعة نتيجة الانحراف الذي يحدث في مسار الالكترونات مما يودي الى تعجيلها عندما تصادف في طريقها نوى أو الكترونات ذرية [3] لحساب الطاقة التي يفقدها

الإلكترون في شكل إشعاع انكباح على وحدة الطول من المسار داخل المادة تستخدم العلاقة التالية [8]:

$$\left(-\frac{dE}{dx} \right)_{rad} =$$

$$\frac{4Z(Z+1)e^4NE}{137m_e^2c^2} \left[ln \left(183 \ Z^{-1/2} \right) + 0.125 \right] \ \cdots (4)$$

وهذه العلاقة تمثل قدرة الإيقاف عن طريق الإشعاع صالحة مادامت طاقة الالكترونات كبيرة، إي $(E>m_ec^2)$ ، اما اذا كانت طاقة الألكترونات صغيرة فأنه يمكن اهمال فقدان الطاقة عن طريق الإشعاع ، فان قدرة الإيقاف الكلية للإلكترونات :

$$\left(-\frac{dE}{dx}\right)_{tot} = \left(-\frac{dE}{dx}\right)_{inel} + \left(-\frac{dE}{dx}\right)_{rad} \cdots (5)$$

۲- الحسابات والنتائج والمناقشة Calculations, Results and Discussion

لقد تم حساب قدرة الإيقاف للإلكترونات في بعض أنسجة جسم الإنسان في مدى الطاقة وضح السجة جسم الإنسكال (1,2,3,4,5,6) توضح قدرة الإيقاف للإلكترونات المارة خلال ستة أنواع من أنسجة جسم الإنسان وقد تم حسابها في هذه الدراسة باعتماد بيانات قدرة الإيقاف للإلكترونات في Z. Tan وقد تم برمجتها بلغة بالماتلاب and W. Liu (2013) (Curve عطابقة Adtlab كما تم إجراء مطابقة (Curve الماتلاب Halikبيانات من المصدر [9] والحصول على معادلات شبه تجريبية مع معاملاتها لقذيفة الإلكترون في معادلات شبه تجريبية مع معاملاتها لقذيفة الإلكترون في المعادلة تمثل قدرة إيقاف الالكترونات في مدى الطاقة المعادلة تمثل قدرة إيقاف الالكترونات في مدى الطاقة

	مدى الطاقة (20-20000)eV									
	(20-2000)e۷ اسم النسيج									
$Fit = \frac{(P_1 E^5 + P_2)}{(J_1 E^4)}$	Ovary	Ovary Testis Brain(gray / white matter) Lung tissue			Soft tissue	Muscle (skeletal)				
+1	$P_1 = 0.1884$	$P_1 = 0.1873$	$P_1 = 0.1909$	$P_1 = 0.189$	$P_1 = 0.1921$	$P_1 = 0.1913$				
$\frac{+P}{2E^3}$	$P_2 = 1075$	$P_2 = 1066$	$P_2 = 1057$	$P_2 = 1069$	$P_2 = 1071$	$P_2 = 1059$				
$\frac{5 + P_2 E^4 + P_3 E^3 + P_4 E^2 + P_5 E}{J_1 E^4 + J_2 E^3 + J_3 E^2 + J_4 E + J_5}$	$P_3 = -2.521 e^4$	$P_3 = -2.499$ e^4	P_3 = - 2.476 e^4	$P_3 = -2.508$ e^4	$P_3 = -2.513 e^4$	$P_3 = -2.485 e^4$				
P ₄ 1	P_4 =-63.02	P_4 =-90.17	P ₄ =- 102.7	P_4 =-36.14	P_4 =-13.73	P_4 =-487.8				
4E ² +	$P_5 = 55.97$	$P_5 = 53.39$	$P_5 = 51.28$	$P_5 = 58.57$	$P_5 = 60.36$	$P_5 = 12.46$				
$\frac{+P_5E}{E+J_5)}$	$P_6 = 4.978$	$P_6 = 4.927$	$P_6 = 5.467$	$P_6 = 5.238$	$P_6 = 5.891$	$P_6 = 2.014$				
5)	$J_1 = 75.23$	$J_1 = 74.62$	$J_1 = 70.65$	$J_1 = 73.9$	$J_1 = 71.06$	$J_1 = 70.48$				
$\frac{(+P_6)}{(-1)^2}$	J_2 = 1.214 e^4	$J_2 = 1.208$ e^4	$J_2 = 1.18 e^4$	$J_2 = 1.212 e^4$	$J_2 = 1.201 e^4$	$J_2 = 1.2$ e^4				
	$J_3 = 2486$	$J_3 = 2379$	$J_3 = 2367$	$J_3 = 2475$	$J_3 = 2565$	$J_3=1572$				
	J_4 = 121	J_4 =115.1	$J_4=115.5$	$J_4=120.5$	$J_4 = 125.4$	$J_4 = 74.51$				
	$J_5 = 4.87$	$J_5 = 5.008$	$J_5=5.315$	$J_5=4.718$	$J_5=5.843$	$J_5=3.085$				

جدول (١) يوضح المعادلات شبه التجريبية التي تمثل قدرة إيقاف الالكترونات في بعض أنسجة جسم الإنسان.

الناتجة من المعادلة شبه التجريبية (٦) مع نتائج [9] في بعض أنسجة جسم الإنسان

Human tissue	CORRE L	STEYX		
Ovary	0.995275	0.102066		
Testis	0.995286	0.101498		
Brain(gr ay/white matter)	0.995222	0.103483		
Lung tissue	0.995243	0.102279		
Soft tissue	0.995209	0.104205		
Muscle(s keletal)	0.995213	0.10331		

لحساب قدرة الإيقاف للإلكترونات في الأوساط الستة المدروسة في هذا البحث تم الحصول على السعادلة شبه التجريبية التالية := Sempe المعادلة شبه التجريبية التالية $\frac{(P_1E^5+P_2E^4+P_3E^3+P_4E^2+P_5E+P_6)}{(J_1E^4+J_2E^3+J_3E^2+J_4E+J_5)}$... (6)

الجدول (٣) يبين قيم الثوابت للمعادلة شبه التجريبية رقم (6) كما تم مقارنة النتائج المحسوبة لقدرة الإيقاف للإلكترونات للأوساط الستة وفقا للمعادلة (6) مع النتائج العملية للمصدر [9] كما في الجدول (4).

كما تم حساب معامل الارتباط الخطي (معامل بيرسون) وذلك من خلال استعمال برنامج Microsoft بيرسون) وذلك من خلال استعمال برنامج CORREL بين النتائج التجريبية المصدر [9] ونتائج المعادلة شبه ألتجريبية والمستنبطة من التطابق Fitting والمتمثلة بالمعادلة (6) فأظهرت توافق جيد مع نتائج المصدر [9] . وكذلك تم حساب الخطأ المعياري من خلال البرنامج الحاسوبي STEYXL وكانت قيم الخطأ المعياري تتراوح الدالة STEYXL وكانت قيم الخطأ المعياري تتراوح بحدود (0.104000 0.0-0.01000) كما تكون جيدة لحساب قدرة إيقاف الالكترونات في الأنسجة قيد الدراسة بالتالي إمكانية استعمال هذه المعادلة لحساب قدرة الإيقاف للإلكترونات في الأنسجة المدروسة

الجدول (٢) يوضح معامل الارتباط CORREL والخطأ المعياري STEYX عند مقارنة قدرة إيقاف الالكترونات

P ₅ =48.67167
P_6 =4.7525
J_1 =72.65667
$J_2=1.2025 e^4$
J_3 =2307.33333
J_4 =112.00167
$J_5=4.8065$

جدول (٣) يوضح المعاملات (الثوابت) للمعادلة شبه (6).

(20-20000)eV
$P_1 = 0.18983$
$P_2 = 1066.16667$
P_3 = -2.50033 e^4
P_4 =-132.26

مدی		من		قدرة الإيقاف للإلكترونات			
الطاقة eV	Ovar y	Testis	Brain(gray/w hite Matter)	Lung tissue	Soft tissue	Muscl e (skelet al)	للمعادلة شبه التجريبية قدرة الإيقاف الالكترونية eV/Å
۲.	0.1273	0.1271	0.1296	0.1268	0.1290	0.1280	-1.701.
70	0.2152	0.2149	0.2192	0.2144	0.2180	0.2163	•.1711
٣.	0.3424	0.3409	0.3478	0.3400	0.3458	0.3431	• . ٤٧ • ٨
40	0.5202	0.5194	0.5300	0.5179	0.5268	0.5226	•.٧٩•٨
٤٠	0.7654	0.7634	0.7798	0.7621	0.7752	0.7690	۱.۰۸۱٦
٤٥	1.0749	1.0732	1.0946	1.0707	1.0890	1.0803	1.7880
٥,	1.4161	1.4132	1.4404	1.4112	1.4355	1.4239	1.01.1
00	1.7422	1.7379	1.7701	1.7374	1.7672	1.7529	1.797.
٦٠	2.0241	2.0183	2.0544	2.0195	2.0542	2.0376	1.91.1
٦٥	2.2540	2.2470	2.2861	2.2499	2.2885	2.2700	Y.1877
٧.	2.4359	2.4278	2.4691	2.4322	2.4740	2.4539	7.7972
٧٥	2.5771	2.5680	2.6110	2.5738	2.6180	2.5967	7.8771
۸.	2.6850	2.6753	2.7195	2.6821	2.7281	2.7059	7.0750
٨٥	2.7674	2.7571	2.8020	2.7648	2.8122	2.7893	7.7719
٩٠	2.8318	2.8210	2.8662	2.8294	2.8777	2.8542	7.7109
90	2.8828	2.8715	2.9164	2.8805	2.9292	2.9053	۲.۷۸۷۸
١	2.9233	2.9114	2.9557	2.9209	2.9696	2.9454	7.121
11.	2.9786	2.9658	3.0078	2.9759	3.0239	2.9991	7.9577
17.	3.0061	2.9926	3.0320	3.0031	3.0498	3.0247	٣.٠٠٥١
14.	3.0134	2.9993	3.0359	3.0100	3.0552	3.0299	٣.٠٤٢٧
1 2 .	3.0061	2.9915	3.0255	3.0023	3.0458	3.0206	۳.۰٦۰۷
10.	2.9882	2.9733	3.0048	2.9841	3.0260	3.0009	۲۳۰۶۳۲
17.	2.9629	2.9476	2.97694	2.9584	2.9988	2.9738	۳.۰۰۳۷
١٧.	2.9322	2.9168	2.9440	2.9276	2.9664	2.9416	٣.٠٣٤٨
١٨٠	2.8980	2.8825	2.9077	2.8931	2.9304	2.9059	٣.٠٠٨٨
19.	2.8612	2.8457	2.8691	2.8562	2.8921	2.8679	7.977
۲۰۰	2.8230	2.8074	2.8292	2.8177	2.8524	2.8285	7.9817
۲٥٠	2.6252	2.6098	2.6253	2.6195	2.6487	2.6263	7,7777
۳۰۰	2.4380	2.4233	2.4347	2.4322	2.4574	2.4366	7.019.
۳٥٠	2.2710	2.2569	2.2655	2.2652	2.2874	2.2679	7.7711
٤٠٠	2.1242	2.1107	2.1174	2.1185	2.1383	2.1200	7.1575
٤٥٠	1.9951	1.9823	1.9876	1.9897	2.0076	1.9904	1,9989
0	1.8814	1.8691	1.8734	1.8761	1.8925	1.8761	1,4719
00.	1.7805	1.7687	1.7722	1.7754	1.7905	1.7750	1.7507
٦٠٠	1.6908	1.6795	1.6825	1.6859	1.7000	1.6852	1.758
۲٥٠	1.6108	1.6000	1.6028	1.6062	1.6196	1.6055	1.00%
٧.,	1.5388	1.5285	1.5313	1.5345	1.5474	1.5339	1.8777
٧٥٠	1.4737	1.4638	1.4666	1.4697	1.4822	1.4692	1.8.17
۸۰۰	1.4145	1.4050	1.4078	1.4107	1.4228	1.4103	1.7779
٨٥٠	1.3604	1.3512	1.3541	1.3568	1.3686	1.3565	1.7779

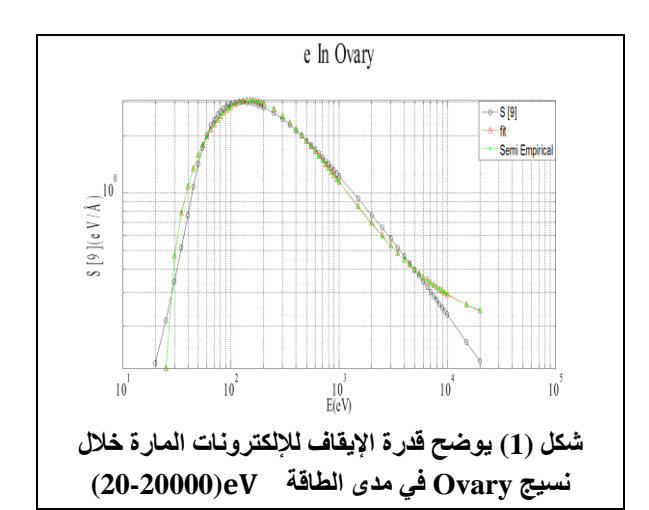
9	1.3107	1.3018	1.3048	1.3073	1.3188	1.3072	1.777.0
90.	1.2649	1.2563	1.2594	1.2617	1.2730	1.2618	1.1740
1	1.2226	1.2143	1.2174	1.2196	1.2306	1.2197	1.1884
10	0.9363	0.9272	0.9300	0.9317	0.9406	0.9322	٠.٨٤٤٠
۲	0.7681	0.7627	0.7649	0.7666	0.7739	0.7670	• . ٦٨٩٥
70	0.6572	0.6525	0.6542	0.6559	0.6621	0.6562	•.09٣٨
٣٠٠٠	0.5767	0.5726	0.5740	0.5756	0.5810	0.5758	•.0719
٣٥٠٠	0.5154	0.5117	0.5129	0.5144	0.5192	0.5145	٠.٤٨١٩
٤٠٠٠	0.4668	0.4635	0.4645	0.4660	0.4703	0.4661	• . ٤٤٦٣
٤٥٠٠	0.4274	0.4243	0.4252	0.4266	0.4305	0.4267	٠.٤١٨٥
0	0.3946	0.3918	0.3926	0.3939	0.3975	0.3939	• . ٣٩٦١
00.,	0.3669	0.3643	0.3650	0.3663	0.3696	0.3663	• . ٣٧٧٧
7	0.3432	0.3407	0.3413	0.3426	0.3457	0.3426	• . ٣٦٢٣
70	0.3226	0.3202	0.3208	0.3220	0.3249	0.3220	• . ٣٤٩٢
٧	0.3045	0.3023	0.3028	0.3040	0.3067	0.3039	•.٣٣٨•
٧٥٠٠	0.2885	0.2864	0.2869	0.2880	0.2906	0.2880	• . ٣٢٨٢
۸٠٠٠	0.2743	0.2722	0.2727	0.2738	0.2762	0.2737	•.٣١٩٧
٨٥٠٠	0.2615	0.2595	0.2600	0.2610	0.2633	0.2610	• . ٣١٢١
9	0.2499	0.2480	0.2485	0.2494	0.2517	0.2494	٠.٣٠٥٤
90	0.2394	0.2376	0.2380	0.2390	0.2411	0.2389	• . ٢٩٩٤
1	0.2298	0.2281	0.2285	0.2294	0.2314	0.2294	٠.٢٩٤٠
10	0.1657	0.1645	0.1647	0.1654	0.1669	0.1654	.,7090
7	0.1309	0.1299	0.1301	0.1307	0.1318	0.1307	٠.٢٤٢١

جدول (٤): يبين قدرة الإيقاف الالكترونية في ستة أنواع من أنسجة جسم الإنسان باستخدام المعادلة شبة التجريبية [9]لقدرة إيقاف الالكترونات وقدرة إيقاف الالكترونات من المصدر

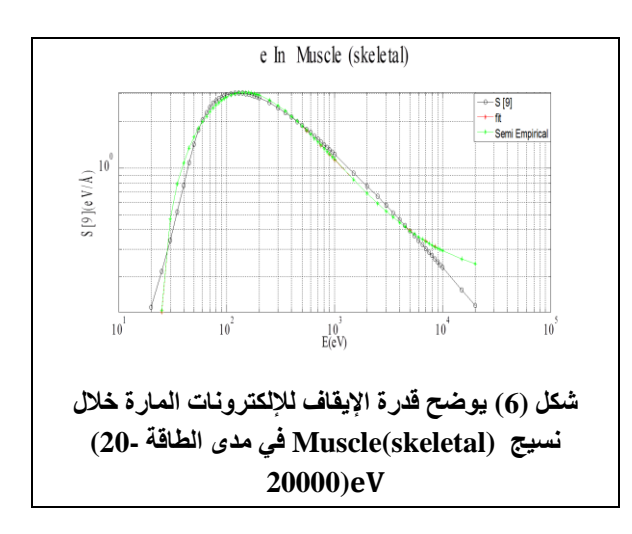
مدی		، من	الإيقاف للإلكترونات	قدرة الإيقاف للإلكترونات للمعادلة شبه التجريبية			
الطاقة eV	Ovar y	Testis	Brain(gray/w hite Matter)	Lung tissue	Soft tissue	Muscl e (skelet al)	قدرة الإيقاف الالكترونية والإيقاف الالكترونية والالكترونية
۲.	0.1273	0.1271	0.1296	0.1268	0.1290	0.1280	-1.701.
70	0.2152	0.2149	0.2192	0.2144	0.2180	0.2163	.1711
٣.	0.3424	0.3409	0.3478	0.3400	0.3458	0.3431	• . ٤٧ • ٨
40	0.5202	0.5194	0.5300	0.5179	0.5268	0.5226	•. ٧٩ • ٨
٤٠	0.7654	0.7634	0.7798	0.7621	0.7752	0.7690	١.٠٨١٦
٤٥	1.0749	1.0732	1.0946	1.0707	1.0890	1.0803	1.7880
٥,	1.4161	1.4132	1.4404	1.4112	1.4355	1.4239	1.01.1
00	1.7422	1.7379	1.7701	1.7374	1.7672	1.7529	1.797.
٦٠	2.0241	2.0183	2.0544	2.0195	2.0542	2.0376	1,94.1
70	2.2540	2.2470	2.2861	2.2499	2.2885	2.2700	7.1577
٧.	2.4359	2.4278	2.4691	2.4322	2.4740	2.4539	7. 79 7 2
٧٥	2.5771	2.5680	2.6110	2.5738	2.6180	2.5967	7. 2771
۸.	2.6850	2.6753	2.7195	2.6821	2.7281	2.7059	7.0750
٨٥	2.7674	2.7571	2.8020	2.7648	2.8122	2.7893	۲٫٦٣١٩
٩.	2.8318	2.8210	2.8662	2.8294	2.8777	2.8542	7.7109
90	2.8828	2.8715	2.9164	2.8805	2.9292	2.9053	۲.۷۸۷۸
١	2.9233	2.9114	2.9557	2.9209	2.9696	2.9454	۲.۸٤٨
11.	2.9786	2.9658	3.0078	2.9759	3.0239	2.9991	۲٫۹٤۲٦
١٢.	3.0061	2.9926	3.0320	3.0031	3.0498	3.0247	٣.٠٠٥١
17.	3.0134	2.9993	3.0359	3.0100	3.0552	3.0299	٣.٠٤٢٧
1 2 .	3.0061	2.9915	3.0255	3.0023	3.0458	3.0206	٣.٠٦٠٧
10.	2.9882	2.9733	3.0048	2.9841	3.0260	3.0009	٣.٠٦٣٢
17.	2.9629	2.9476	2.97694	2.9584	2.9988	2.9738	۳.۰۰۳۷

1.0	١٧.	2.0222	2.0169	2.0440	2.0276	2.0664	2.0416	Ψ.•Ψέλ
19. 2.8612 2.8457 2.8691 2.8562 2.8921 2.8679 Y.9VVT Y. 2.8230 2.8074 2.8292 2.8177 2.8524 2.8285 Y.9£17 Y. 2.6252 2.6098 2.6253 2.6195 2.6487 2.6263 Y.9TT Y. 2.4380 2.4233 2.4347 2.4322 2.4574 2.4366 Y. 9.14 Y. 2.24380 2.4233 2.4347 2.4322 2.4574 2.2669 Y.9TT Y. 2.2710 2.2569 2.2655 2.2652 2.2874 2.2679 Y.7TT Y. 2.1174 2.1185 2.1383 2.1200 Y.9£2 2.655 2.2652 2.2874 2.2679 Y.7TT Y. 2.1174 2.1185 2.1383 2.1200 Y.9£2 2.655 2.2652 2.2874 2.2679 Y.7TT Y. 2.1174 2.1185 2.1383 2.1200 Y.9£2 2.655 2.2652 2.2874 2.2679 Y.7TT Y. 2.1174 2.1185 2.1383 2.1200 Y.9£2 2.655 2.2652 2.2874 2.2679 Y.7TT Y. 2.1174 2.1185 2.1383 2.1200 Y.9£2 2.655 2.2652 2.2874 2.2679 Y.7TT Y. 2.1174 2.1185 2.1383 2.1200 Y.9£2 2.655 2.2652 2.2874 2.2679 Y.7TT Y. 2.1174 2.1185 2.1383 2.1200 Y.9£2 2.655 2.6552 2.2874 2.2679 Y.7TT Y. 2.6698 1.6687 1.7722 1.7754 1.8925 1.8761 Y.957 Y.9		2.9322	2.9168	2.9440	2.9276	2.9664	2.9416	· ·
Y·. 2.8230 2.8074 2.8292 2.8177 2.8524 2.8285 Y.9171 Y·. 2.6252 2.6098 2.6253 2.6195 2.6487 2.6263 Y.YYYY Y·. 2.4380 2.4233 2.4347 2.4322 2.4574 2.4366 Y.914 Y·. 2.2470 2.2569 2.2655 2.2652 2.2874 2.2679 Y.YYYA £·. 2.1242 2.1107 2.1174 2.1185 2.1383 2.1200 Y.1475 £·. 2.19951 1.9823 1.9876 1.9897 2.0076 1.9904 Y.1476 ē·. 1.9951 1.9823 1.9876 1.9897 2.0076 1.9904 Y.1476 ē·. 1.9951 1.9823 1.9876 1.9897 2.0076 1.9904 Y.1476 ē·. 1.6908 1.6795 1.6734 1.8761 1.8925 1.8761 Y.1471 ē·. 1.6981 1.6000 1.6028 1.6062 1.6196 1.6055 <td></td> <td></td> <td></td> <td></td> <td></td> <td></td> <td></td> <td></td>								
Y・・ 2.6252 2.6098 2.6253 2.6195 2.6487 2.6263 Y.YYYY Y・・ 2.4380 2.4233 2.4347 2.4322 2.4574 2.4366 Y.o194 Y・・ 2.2710 2.2569 2.2655 2.2652 2.2874 2.2679 Y.YYYA ★・・ 2.1242 2.1107 2.1174 2.1185 2.1383 2.1200 Y.YYYA ★・・ 2.1242 2.1107 2.1174 2.1185 2.1383 2.1200 Y.YYYA ★・・ 2.1881 1.8814 1.8691 1.8734 1.8761 1.9904 1.5181 ★・・ 1.8814 1.8691 1.8734 1.8761 1.8925 1.8761 Y.YYYA ★・・ 1.6908 1.6795 1.6825 1.6859 1.7000 1.6852 Y.YYYA ★・・ 1.6108 1.6000 1.6022 1.6196 1.66852 Y.YYYA ★・ 1.5388 1.5285 1.5313 1.5345 1.5474 1.5339 Y.YYYA								·
下・ 2.4380 2.4233 2.4347 2.4322 2.4574 2.4366 Y.●13. ▼・ 2.2710 2.2569 2.2655 2.2652 2.2874 2.2679 Y.ΥΥΥΑ ٤・ 2.1242 2.1107 2.1174 2.1185 2.1383 2.1200 Y.ΥΥΥΑ ٤・ 1.9951 1.9823 1.9876 1.9897 2.0076 1.9904 Y.↑ΥΥΑ • · 1.8814 1.8691 1.8734 1.8761 1.8925 1.8761 1.ΛΥΙβ • · 1.7805 1.7687 1.7722 1.7754 1.7905 1.7750 Y.Υερ 1. 1.6908 1.6795 1.6825 1.6859 1.7000 1.6852 7.4717 1. 1.6908 1.6000 1.6028 1.6062 1.6196 1.6055 Y.Υερ 1. 1.6108 1.6000 1.6028 1.6062 1.6196 1.6055 Y.Υερ 1. 1.5313 1.5344 1.5349 1.5474 1.5339 1.5474 <								
下の・ 2.2710 2.2569 2.2655 2.2652 2.2874 2.2679 Y.YYYA €・・ 2.1242 2.1107 2.1174 2.1185 2.1383 2.1200 Y.YEYE €・・ 1.9951 1.9823 1.9876 1.9897 2.0076 1.9904 Y.YEYE ●・・ 1.8814 1.8691 1.8734 1.8761 1.8925 1.861 Y.ATYA ●・・ 1.7805 1.7687 1.7722 1.7754 1.7905 1.7750 Y.YEYT ▼・・ 1.6908 1.6795 1.6825 1.6859 1.7000 1.6852 Y.YEYE ▼・ 1.6108 1.6000 1.6028 1.6062 1.6196 1.6055 Y.YEYE ▼・ 1.5388 1.5285 1.5313 1.5345 1.5474 1.5339 Y.YYA ▼・ 1.4737 1.4638 1.4666 1.4697 1.4822 1.4103 Y.YYYA ★・ 1.3604 1.3512 1.3541 1.3568 1.3686 1.3565								
 ★・・ 2.1242 2.1107 2.1174 2.1185 2.1383 2.1200 Y.\\\\\\\\\\\\\\\\\\\\\\\\\\\\\\\\\\\								1
1.9951 1.9823 1.9876 1.9897 2.0076 1.9904 1.41161 0.1 1.8814 1.8691 1.8734 1.8761 1.8925 1.8761 1.4717 0.0 1.7805 1.7687 1.7722 1.7754 1.7905 1.7750 1.7550 1.7550 1.7550 1.7550 1.7550 1.7550 1.7550 1.7550 1.7550 1.6908 1.6795 1.6825 1.6825 1.7000 1.6852 1.7176 1.6108 1.6000 1.6028 1.6062 1.6196 1.6055 1.00								
0.0 1.8814 1.8691 1.8734 1.8761 1.8925 1.8761 1.7178 0.0 1.7805 1.7687 1.7722 1.7754 1.7905 1.7750 1.750 1.7805 1.7687 1.7722 1.7754 1.7905 1.7750 1.750 1.700 1.6908 1.6795 1.6825 1.6859 1.7000 1.6852 1.517 1.0 1.6908 1.6000 1.6028 1.6062 1.6196 1.6055 1.007 1.0 1.5388 1.5285 1.5313 1.5345 1.5474 1.5339 1.5174 1.4737 1.4638 1.4666 1.4697 1.4822 1.4692 1.5117 1.4737 1.4638 1.4060 1.4078 1.4107 1.4228 1.4103 1.7773 1.0 1.3604 1.3512 1.3541 1.3568 1.3686 1.3565 1.7773 1.0 1.3018 1.3048 1.3073 1.3188 1.3072 1.7717 1.0 1.2649 1.2563 1.2594 1.2617 1.2730 1.2618 1.7740 1.1.107 1.3018 1.3048 1.3073 1.3188 1.3072 1.7717 1.1.1226 1.2143 1.2174 1.2196 1.2306 1.2197 1.7714 1.0 0.9363 0.9272 0.9300 0.9317 0.9406 0.9322 ∧££ 1.0 0.7681 0.7627 0.7649 0.7666 0.7739 0.7670 ↑.749 1.0 0.6572 0.6525 0.6542 0.6559 0.6621 0.6562 ∘977A 1.0 0.5767 0.5726 0.5740 0.5756 0.5810 0.5758 ∘978 1.0 0.4274 0.4243 0.4252 0.4266 0.4305 0.4267 £N9 1.0 0.3432 0.3407 0.3413 0.3426 0.3457 0.3426 £N9 1.0 0.3432 0.3407 0.3413 0.3426 0.3457 0.3426 £N9 1.0 0.3432 0.3407 0.3413 0.3426 0.3457 0.3426 £N9 1.0 0.2888 0.2864 0.2869 0.2880 0.2906 0.2880 £N9 1.0 0.2499 0.2480 0.2485 0.2494 0.2517 0.2494 £N9 1.0 0.2394 0.2376 0.2380 0.2390 0.2411 0.2389 ₹N9 1.0 0.2394 0.2376 0.2380 0.2390 0.2411 0.2389 ₹N9								
0								·
T.・								· · · · · · · · · · · · · · · · · · ·
To 1.6108 1.6000 1.6028 1.6062 1.6196 1.6055 1.0057 V								•
V・・ 1.5388 1.5285 1.5313 1.5345 1.5474 1.5339 1.€YYA V・・ 1.4737 1.4638 1.4666 1.4697 1.4822 1.4692 1.€・YY A・・ 1.4145 1.4050 1.4078 1.4107 1.4228 1.4103 1.7773 A・・ 1.3604 1.3512 1.3541 1.3568 1.3686 1.3565 1.7YA3 4・・ 1.3107 1.3018 1.3048 1.3073 1.3188 1.3072 1.7YYY 4・・ 1.2649 1.2563 1.2594 1.2617 1.2730 1.2618 1.1YA6 1・・ 1.2226 1.2143 1.2174 1.2196 1.2306 1.2197 1.1YE6A 1・・ 0.9363 0.9272 0.9300 0.9317 0.9406 0.9322 A££ 1・・ 0.7681 0.7627 0.7649 0.7666 0.7739 0.7670 TA49 1・・ 0.6572 0.6525 0.6542 0.6559 0.6621 0.6562			1.6795	1.6825	1.6859		1.6852	
Ye・ 1.4737 1.4638 1.4666 1.4697 1.4822 1.4692 りまれて A・・ 1.4145 1.4050 1.4078 1.4107 1.4228 1.4103 リアドマキ A・・ 1.3604 1.3512 1.3541 1.3568 1.3686 1.3565 リアドスキ キ・・ 1.3107 1.3018 1.3048 1.3073 1.3188 1.3072 リアドスキ キ・・ 1.2649 1.2563 1.2594 1.2617 1.2730 1.2618 リントント ト・・ 1.2226 1.2143 1.2174 1.2196 1.2306 1.2197 リンドをみ ト・・ 0.9363 0.9272 0.9300 0.9317 0.9406 0.9322 ・ 八をき キ・・ 0.7681 0.7627 0.7649 0.7666 0.7739 0.7670 ・ 八本き キ・・ 0.6572 0.6525 0.6542 0.6559 0.6621 0.6562 ・ タキスト キ・・ 0.5767 0.5726 0.5740 0.5756 0.5810 0.5758								·
↑・・								1
↑・	٧٥٠		1.4638	1.4666			1.4692	1.8.17
1.3107	۸.,							· ·
9	٨٥٠	1.3604	1.3512	1.3541	1.3568	1.3686	1.3565	·
1.2226 1.2143 1.2174 1.2196 1.2306 1.2197 1.1でん 1.2226 1.2143 1.2174 1.2196 1.2306 1.2197 1.1でん 1.2196 1.2306 1.2197 1.1でん 1.2196 1.2306 1.2197 1.2196 1.2306 1.2197 1.2196 1.2306 1.2197 1.2196 1.2306 1.2197 1.2196 1.2306 1.2197 1.2196 1.2306 1.2197 1.2196 1.2306 1.2197 1.2196 1.2306 1.2197 1.2196 1.2306 1.2197 1.2196 1.2306 1.2197 1.2196 1.2306 1.2197 1.2196 1.2306 1.2197 1.2196 1.2306 1.2197 1.2196 1.2306 1.2197 1.2196 1.2306 1.2197 1.2196 1.2306 1.2197 1.2196 1.2306 1.2197 1.2196 1.2306 1.2197 1.2196 1.2197 1.2196 1.2197 1.2196 1.2197 1.2196 1.2197 1.2196 1.2197 1.2196 1.2197 1.2197 1.2196 1.2197	9	1.3107	1.3018	1.3048	1.3073	1.3188	1.3072	1
1000 1000	90.	1.2649	1.2563	1.2594	1.2617	1.2730	1.2618	1.1740
Y・・・ 0.7681 0.7627 0.7649 0.7666 0.7739 0.7670 ・、1からっ Y・・・ 0.6572 0.6525 0.6542 0.6559 0.6621 0.6562 ・・・・・・・・・・・・・・・・・・・・・・・・・・・・・・・・・・・・	1	1.2226	1.2143	1.2174	1.2196	1.2306	1.2197	1.1881
Yow 0.6572 0.6525 0.6542 0.6559 0.6621 0.6562 ・・・・・・・・・・・・・・・・・・・・・・・・・・・・・・・・・・・・	10	0.9363	0.9272	0.9300	0.9317	0.9406	0.9322	
 で・・ 0.5767 0.5726 0.5740 0.5756 0.5810 0.5758 ・・・・・・・・・・・・・・・・・・・・・・・・・・・・・・・・・・・	۲٠٠٠	0.7681	0.7627	0.7649	0.7666	0.7739	0.7670	• .7.490
 ▼・・・ 0.5154 0.5117 0.5129 0.5144 0.5192 0.5145 ・・・・・・・・・・・・・・・・・・・・・・・・・・・・・・・・・・・	70	0.6572	0.6525	0.6542	0.6559	0.6621	0.6562	٠.٥٩٣٨
 こ・・・ 0.4668 0.4635 0.4645 0.4660 0.4703 0.4661 ・・・・・・・・・・・・・・・・・・・・・・・・・・・・・・・・・・・	٣٠٠٠	0.5767	0.5726	0.5740	0.5756	0.5810	0.5758	• .0719
£o 0.4274 0.4243 0.4252 0.4266 0.4305 0.4267 £\ho o 0.3946 0.3918 0.3926 0.3939 0.3975 0.3939 ٣٩٦١ o 0.3669 0.3643 0.3650 0.3663 0.3696 0.3663 ٣٧٧ t 0.3432 0.3407 0.3413 0.3426 0.3457 0.3426 ٣٦٢٣ t 0.3226 0.3202 0.3208 0.3220 0.3249 0.3220 ٣٤٩٢ v 0.3045 0.3023 0.3028 0.3040 0.3067 0.3039 ٣٢٨٠ v 0.2885 0.2864 0.2869 0.2880 0.2906 0.2880 ٣٢٨٠ h 0.2743 0.2722 0.2727 0.2738 0.2762 0.2737 ٣١٩٠ h 0.2499 0.2480 0.2485 0.2494 0.2517 0.2494 q 0.2394 0.2376 0.2380 0.2390 0.2411	٣٥٠.	0.5154	0.5117	0.5129	0.5144	0.5192	0.5145	• . ٤٨١٩
O 0.3946 0.3918 0.3926 0.3939 0.3975 0.3939 0.3669 0.3643 0.3650 0.3663 0.3663 0.3663 0.3663 0.3432 0.3407 0.3413 0.3426 0.3457 0.3426	٤٠٠٠	0.4668	0.4635	0.4645	0.4660	0.4703	0.4661	• . ٤٤٦٣
OO. 0.3669 0.3643 0.3650 0.3663 0.3696 0.3663	٤٥٠٠	0.4274	0.4243	0.4252	0.4266	0.4305	0.4267	
1・・・ 0.3432 0.3407 0.3413 0.3426 0.3457 0.3426 ・パパパ 1・・・ 0.3226 0.3202 0.3208 0.3220 0.3249 0.3220 ・パパパ 1・・・ 0.3045 0.3023 0.3028 0.3040 0.3067 0.3039 ・パパパ 1・・・ 0.2885 0.2864 0.2869 0.2880 0.2906 0.2880 ・パパパ 1・・・ 0.2743 0.2722 0.2727 0.2738 0.2762 0.2737 ・パパパ 1・・・ 0.2615 0.2595 0.2600 0.2610 0.2633 0.2610 ・パパパ 1・・・ 0.2499 0.2480 0.2485 0.2494 0.2517 0.2494 ・パッを 1・・・ 0.2394 0.2376 0.2380 0.2390 0.2411 0.2389 ・パッのも	0	0.3946	0.3918	0.3926	0.3939	0.3975	0.3939	• . ٣٩٦١
T・・・	00.,	0.3669	0.3643	0.3650	0.3663	0.3696	0.3663	•.٣٧٧٧
Toology	7	0.3432	0.3407	0.3413	0.3426	0.3457	0.3426	٠.٣٦٢٣
V··· 0.3045 0.3023 0.3028 0.3040 0.3067 0.3039	٦٥٠٠	0.3226	0.3202	0.3208			0.3220	• . ٣٤٩٢
Vo 0.2885 0.2864 0.2869 0.2880 0.2906 0.2880	٧	0.3045	0.3023	0.3028		0.3067	0.3039	٠.٣٣٨٠
Λ··· 0.2743 0.2722 0.2727 0.2738 0.2762 0.2737 γι ۹ν Λο·· 0.2615 0.2595 0.2600 0.2610 0.2633 0.2610 γι γι 9··· 0.2499 0.2480 0.2485 0.2494 0.2517 0.2494 γ· ο ξ 9··· 0.2394 0.2376 0.2380 0.2390 0.2411 0.2389 γ ۹ ξ	٧٥٠٠	0.2885	0.2864	0.2869	0.2880	0.2906	0.2880	٠.٣٢٨٢
Ao 0.2615 0.2595 0.2600 0.2610 0.2633 0.2610	۸۰۰۰							• . ٣١٩٧
9··· 0.2499 0.2480 0.2485 0.2494 0.2517 0.2494	۸٥٠٠							• . ٣١٢١
90 0.2394 0.2376 0.2380 0.2390 0.2411 0.2389 ٢٩٩٤	9	0.2499	0.2480	0.2485			0.2494	٠.٣٠٥٤
	90		0.2376	0.2380			0.2389	• . ٢٩٩٤
	1	0.2298	0.2281	0.2285	0.2294	0.2314	0.2294	۲9 ٤ ٠
10 0.1657 0.1645 0.1647 0.1654 0.1669 0.1654 Yoqo	10							
Y···· 0.1309 0.1299 0.1301 0.1307 0.1318 0.1307 ··Y£Y1	7							

الاشكال (1,2,3,4,5,6) يبين إن قدرة الإيقاف الالكترونية للإلكترونات في الأوساط الستة قيد الدراسة المحسوبة وفقا للمعادلة شبه التجريبية (6) تكون متوافقة مع النتائج المأخوذة من المصدر [9].

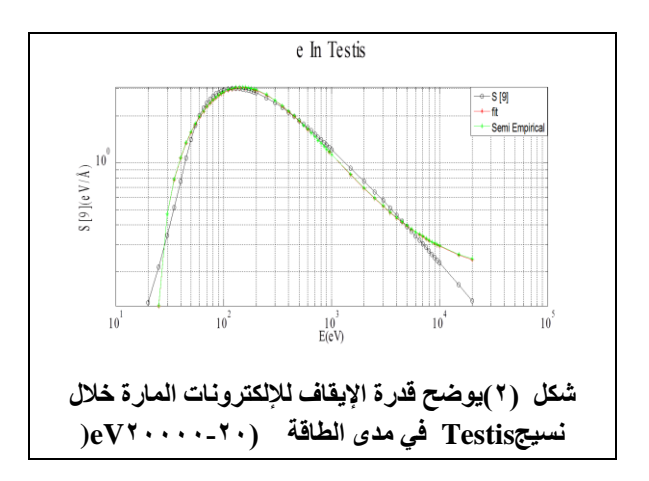


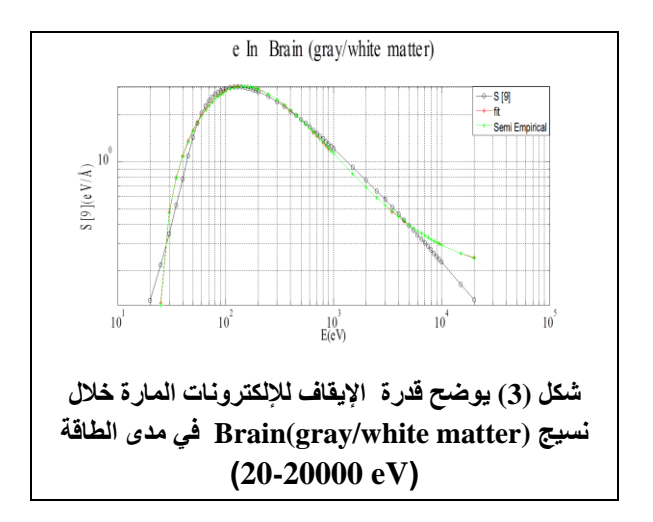
شكل (5) يوضح قدرة الإيقاف للإلكترونات المارة خلال نسيج Soft tissue في مدى الطاقة

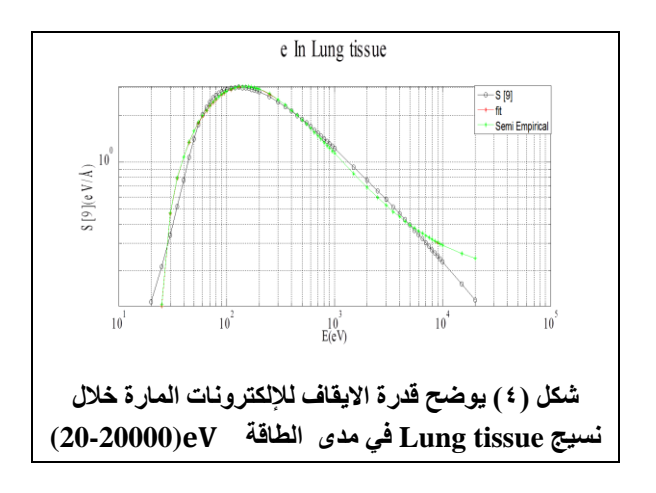


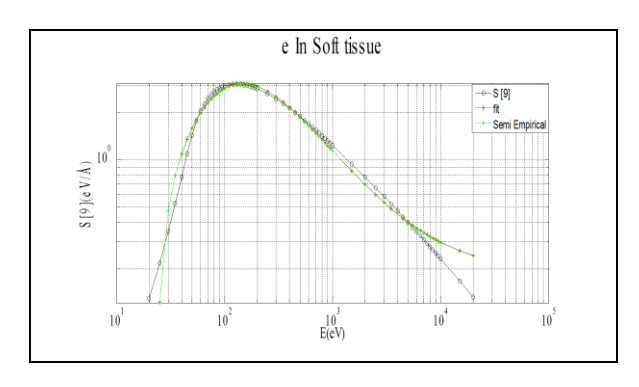
٢. المصادر

- [1] W. L. Dunn and R. P. Hvgtenburg,
 "The interaction of radiation with
 matter charged particle and electron
 interactions", IEEE Short Course,
 (2006).
- [2] W. E. Meyerhof, "Elements of Nuclear Physics ",McGraw-Hill ,New York, (1967).
- [3] A. J. Saleh," Introduction to Nuclear Physics", University of Basrah, (1987).
- [4] M . A. Khaleel, "Nuclear energy ",University of Mousil, (1987).









- [5] A. Poškus, "Absorption of alpha particles in air", Experiment, No. (9), (2009).
- [6] A. Aziz Al Rubyi, "Increase the range of stopping power of energies (1 < E(MeV/u) ≤ 0.1) "M.Sc. Thesis ,AL-Mustansiriyah University ,(1999).
- [7] K. E. Holbert, "Charged particle ionization and range", EEE460-Handout, (2012).
- [8] M. F. Ahmad, A. M. Alesrent "The foundations of Radiation Physics", King Saud University, (2005).
- [9] Z. Tan, W. Liu, "Calculations of stopping power and inelastic mean free paths for 20eV-20keV electrons in 11 types of human tissue ", Applied radiation and isotopes, (2013).